

钢索接头拉结工艺

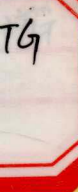
于延年 编

张修春 校

(内部资料 注意保存)



国防工业出版社



鋼索接头拉結工艺

于延年編

張修春校

*

国防工业出版社出版

北京市书刊出版业营业登记证字第074号

国防工业出版社印刷厂印装 内部发行

*

850×1168 1/32 印张 5 1/8 16千字

1965年5月第一版 1965年5月第一次印刷 印数：0,001—3,000册

• 纸质书号：N15034·(活)-36 定价：(科六) 0.13元



T43

0368

NEIG
8
01

一、概述

为满足产品操纵系統結構上的要求，部分采用着带接头的鋼

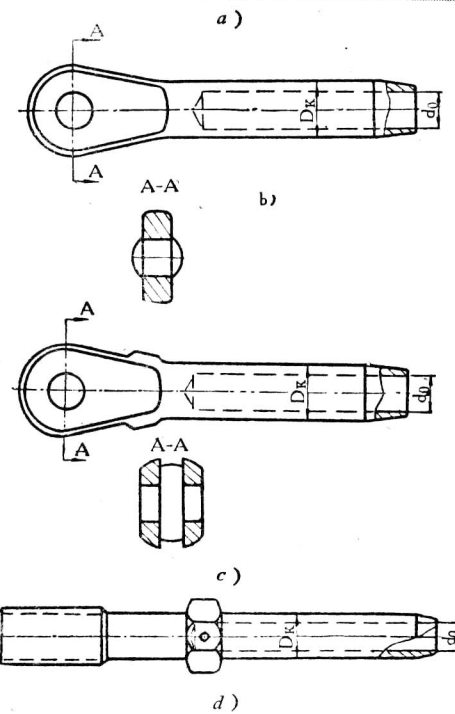
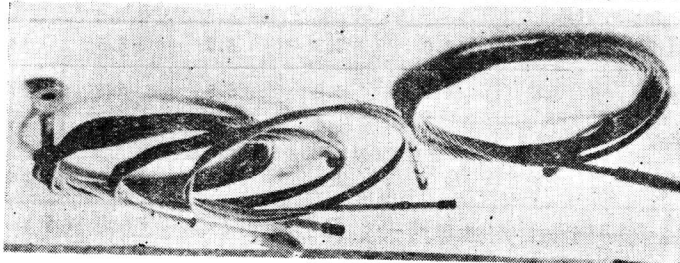


图1 接头的类型:

a—钢索接头; b—耳型; c—叉型; d—带螺纹的。

索进行操纵。常用的钢索直径为1.8~4毫米，钢索与被操纵的构件通过不同型式的接头相连。接头的型式有耳型，叉型及带螺纹的三种类型。接头的尺寸是标准的。

与拉结有关的各类型接头的主要尺寸，如表1所示。

表1 各种接头的主要尺寸

钢索直径 d	1.8	2.0	2.5	3.0	3.5	4.0
D_{kc4}	3.8	4.2	4.8	5.5	6.5	7.5
d_{AA4}	1.9	2.3	2.7	3.3	3.7	4.5
D_k	3.2	3.5	4.0	4.5	5.5	6.2

注： D_k ——拉结后接头直径。

钢索与接头之间的連結，过去在生产车间里采用的是压结的方法；即在敞开的压模里，进行多次压缩，使接头金属挤入钢索缝隙之内，以达到連結的目的。采用压结的方法，对大多数钢索接头，满足不了技术条件的要求。在结合强度试验时，经常发生钢索从接头里抽出及接头压结部分被拉断的现象。废品率最高能达到10%左右。压结质量不高的原因有以下几方面：

1. 压缩量与压缩次数

(1) 当压缩量一定时，压缩次数少，尺寸达不到要求，而压缩次数增多时，又会使接头过多承受交变应力，使材料性质变坏；

(2) 增加压缩量时，压缩次数可以减少，会使接头内钢索压碎。因此，压缩量与压缩次数之间的正确关系，必须由有经验的老工人来调整。

2. 变形情况

(1) 压模内部的接头金属，受不均匀压应力(参阅图2)，最大变形是沿轴向方向；

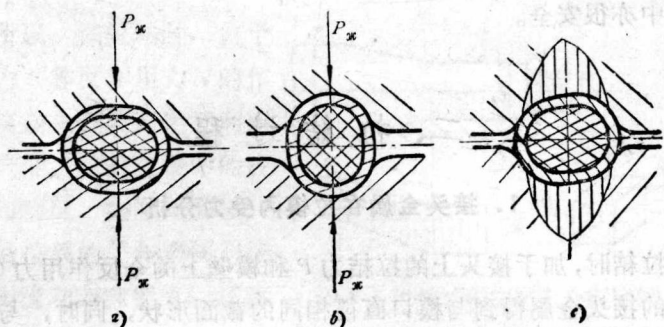


图 2 接头金属在压模内受力情况：

a—第一次压縮；b—轉90°后压縮；c—压力分布情况。

(2) 靠近压模分离面处的接头金属，因受压模圆角间隙的影响，金属向该方向流动，在每次压缩之后，接头在模内将成为椭圆的形状。

采用拉结工艺方法有以下主要优点：

(1) 接头金属在拉模内受的是封闭的、均匀径向压应力 σ_r ，代替了压縮过程中接头金属受交变不均匀的应变情形(见图3)，它有利于接头金属挤入钢索缝隙之内，提高了钢索与接头之间的结合强度。试验结果表明，采用拉结方法制造的钢索接头，都超过了规定的结合强度，根本消灭了废品；

(2) 拉结的质量，主要取决于拉模的加工质量(工作部分的表面光洁度和精度)和几何形状的选择，因而，对操作工人技术水平要求不高。拉结接头表面光洁度、尺寸精度、结合强度等都比较稳定；

(3) 成批生产时，拉结方法的生产效率高于压结方法(大约1~1.5倍左右)，同时，操作

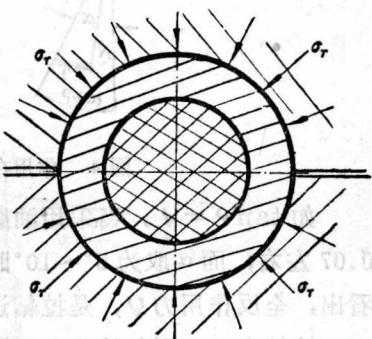


图 3 拉結时，接头横截面
在拉模內受力情况。

过程中亦很安全。

二、拉結过程

1. 接头金属在拉模内受力分析

拉結时, 加于接头上的拉結力 P 和模壁上的全反作用力 Q , 使拉結的接头金属得到与模口直徑相同的截面形状, 同时, 与拉伸系数成比例地使接头金属伸长。与拉模工作表面垂直方向成摩擦角 ρ 的全反作用力 Q 和拉結力 P 的关系, 可用下式表示 (图 4):

$$P = Q \sin(\alpha + \rho) \quad \text{或} \quad Q = \frac{P}{\sin(\alpha + \rho)}$$

式中 α —— 拉模变形带的锥半角。

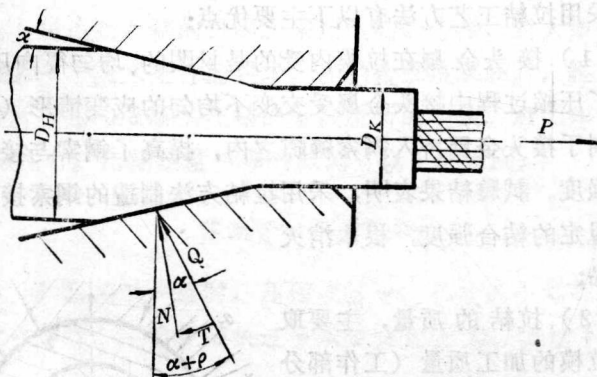


图 4 作用在接头上的力。

如 $\tan \rho = f$, 当采用油脂潤滑剂时, 摩擦系数 $f = 0.05 \sim 0.07$ 左右; 而 α 取为 $5^\circ \sim 10^\circ$ 时, 则 $Q \approx (5 \sim 10) P$ 。由此可以看出, 全反作用力 Q , 是拉結过程中接头金属主要的变形力。

拉結力 P , 引起接头金属沿軸向的主拉应力 σ_z ; 限制接头金属流动的反作用力 N 与拉模的工作表面垂直, 并使变形金属产生沿徑向的主压应力 σ_r 及切向的主压应力 σ_t ($\sigma_r = \sigma_t$)。

所以，在拉結时，由于拉結力 P 和反作用力 N 的作用，使接头金属产生三向应力与应变。拉結过程中的应力分布情况，如图 5 所示。

沿拉模的工作表面与接头金属流动方向相反的摩擦力 T ，使接头金属产生附加切变形，即金属晶粒轴偏轉而与拉力轴綫成一定角度。偏轉的角度大小，与拉模的变形带锥半角 α 和变形带的长度大小有关。一般說来，离开拉力轴綫愈远的那层金属的晶粒偏轉愈大，靠近拉力轴綫的金属晶粒，几乎不产生偏轉。拉結时的切变情况，如图 6 所示。

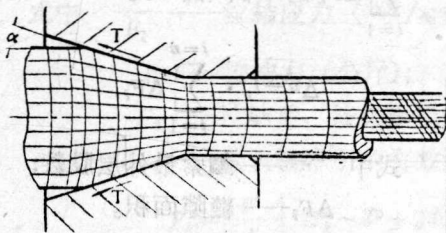


图 6 拉結时的切变情况。

拉結过程中，变形区域内的接头金属各点的应力是变化的。各力在变形区域内对接头金属的微小变形体上的作用情况，如图 7 所示。

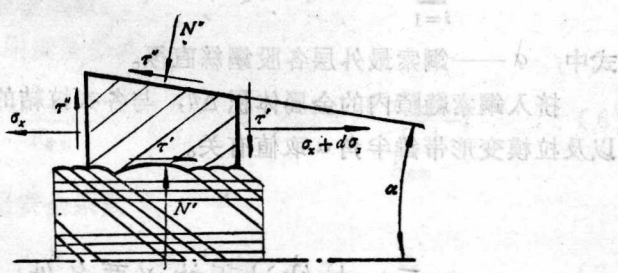


图 7 微小变形体上的受力情况。

2. 提高鋼索与接头之間結合强度的原因

形成鋼索与接头的結合强度，应包括如下两个主要方面：

(1) 鋼索与接头內孔壁部之摩擦力；

(2) 在拉結过程中，挤入鋼索縫隙之內的金屬，阻止鋼索与接头之間相对移动，它是提高結合强度的主要因素。

拉結时，挤入鋼索縫隙之內的金屬体积 Δu ，可由变形体体积不变定律求得。它应等于拉結后的长度 l_k 与鋼索縫隙面积 总和

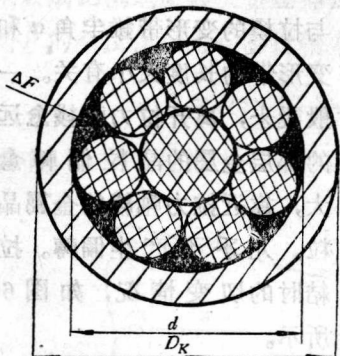


图 8 拉結时，接头金属挤入鋼索縫隙的情况。

$\sum_{i=1}^{i=n} \Delta F_i$ 的乘积 (图 8)。

$$\Delta u = l_k \cdot \sum_{i=1}^{i=n} \Delta F_i,$$

式中 n —— 鋼索最外层股数；
 ΔF_i —— 縫隙面积。

假設鋼索直徑 d 在拉結過程

中保持不变，則 $\sum_{i=1}^{i=n} \Delta F_i$ 可用下式表示：

$$\sum_{i=1}^{i=n} \Delta F_i = \frac{\pi}{4} q^2 \left[\frac{2d}{q} - \left(1 + \frac{n}{2} \right) \right], \quad (1)$$

式中 q —— 鋼索最外层各股鋼絲直徑。

挤入鋼索縫隙內的金屬体积 Δu ，与各次拉結的拉伸系数 μ_i ，以及拉模变形带錐半角 α 取值有关。

三、拉結过程的必要条件

1. 順利实现拉結过程的必要条件是：拉結的应力，必須小

于接头金属被牵引部分的最小允许强度 $[\sigma]_{\text{牵引}}$ （即允许的拉、压、剪切等强度中的最小一个），以及出模处接头金属的屈服极限强度 σ_s ；同时，应大于拉模变形区域内接头金属的变形抗力 K_f ，即满足下列不等式：

$$\frac{P}{F_{\text{牵引}}} < [\sigma]_{\text{牵引}}; \quad (2)$$

$$\frac{P}{F_k} < \sigma_s; \quad (3)$$

$$\frac{P}{F_k} > K_f, \quad (4)$$

式中 $\frac{P}{F_k}$ —— 拉结应力（公斤/毫米²）；

P —— 拉结力（公斤）；

F_k —— 拉结后，接头金属横截面面积（毫米²）；

$F_{\text{牵引}}$ —— 接头被牵引的有效面积（毫米²）。

$$F_k = \frac{\pi}{4} \left[D_k^2 - d^2 + 2dq - q^2 \left(1 + \frac{n}{2} \right) \right], \quad (5)$$

式中 D_k —— 拉结后接头外径（毫米）。

出模处的接头金属的屈服极限强度 σ_s ，随变形程度的不同而异。一般来说，在拉结后趋近于抗拉极限强度 σ_B 。接头金属牵引部分的最小允许强度 $[\sigma]_{\text{牵引}}$ ，视牵引方式确定。

2. 为使接头金属不被拉断，接头被牵引部分不受损坏，应考虑以下两个安全系数。

(1) 牵引安全系数 $K_{\text{牵引}}$

$$\frac{P}{F_{\text{牵引}}} = \frac{[\sigma]_{\text{牵引}}}{K_{\text{牵引}}} \quad \text{或} \quad K_{\text{牵引}} = \frac{[\sigma]_{\text{牵引}}}{\frac{P}{F_{\text{牵引}}}}; \quad (6)$$

(2) 拉结安全系数 K_p

$$\frac{P}{F_k} = \frac{\sigma_s}{K_p} \quad \text{或} \quad K_p = \frac{\sigma_s}{\frac{P}{F_k}}. \quad (7)$$

在实际拉結的条件下，接头被牵引部分的破坏力 P_p （应视为因牵引所产生变形时的力），一般都小于出模处接头金属横截面上所能承受的屈服力 P_s ，即 $P_p < P_s$ 。

$$P_p = \sigma_{\text{牵引}} \cdot F_{\text{牵引}} \quad (\text{公斤}) ;$$

$$P_s = F_k \cdot \sigma_s \quad (\text{公斤}),$$

式中 $\sigma_{\text{牵引}}$ ——被牵引部位的实际应力（公斤/毫米²）。

所以，为顺利地实现拉结过程，保证被牵引部分不受损坏，则是主要要考虑的因素。

安全系数 $K_{\text{牵引}}$ 、 K_p ，一般可根据以下情况选取：

(1) 拉结力计算公式中各参数选用是否适当与准确，以及公式的准确精度；

(2) 金属变形后的材料性质变化情况，冷硬现象是否严重，变形是否均匀；

(3) 拉结时，润滑情况是否正常，拉结速度是否过快，牵引的方式等等。

通常，采用的拉伸系数小于 1.4 时， $K_p = 1.2 \sim 1.4$ ， $K_{\text{牵引}} = 1.1 \sim 1.3$ 。

四、关于拉结力的计算

关于钢索接头拉结过程中的拉结力计算，现在还没有可靠的方法。下面介绍的计算方法，仅是近似的，可作为初步计算，或在没有经验的情况下，做为选取拉结次数及采用拉结设备的参考。

假定，钢索在拉结过程中不变形，且不计入钢索与接头内孔的摩擦损耗，则拉结力 P 应消耗在以下几个方面：

(1) 变形区域内接头金属的塑性变形力 P_m ；

(2) 克服阻止金属塑流的摩擦力 P_u ；

(3) 由于拉模工作表面的摩擦力作用，使金属产生不均匀的剪切变形所需的力 P_h 。

同时，也不计拉模定径带的表面摩擦力的影响，则拉结力应为上述各力之总和。即，
图中有关计算公式请见其后一节

$$P = P_m + P_\mu + P_h \text{ (公斤)}.$$

1. 上述各力之计算

(1) 塑性变形力 P_m (参阅图 9)

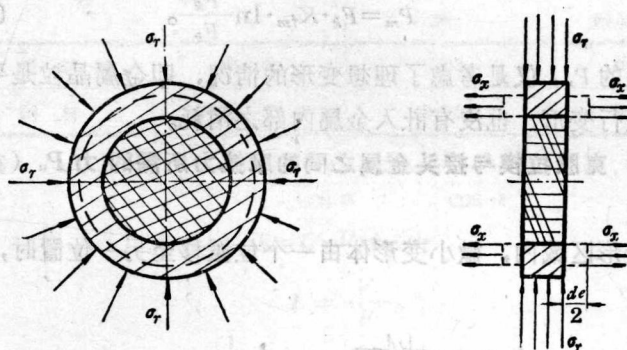


图 9 拉结时，接头金属薄片的变形及应力情况。

取变形区域内一微小变形体，厚度为 l ，截面积为 F 的薄片，在径向应力 σ_r 及轴向拉应力 σ_x 的作用下，横截面面积缩小为 dF ，轴向伸长 Δl ，则变形体所需的微功 dA_m ，应等于变形体体积的变形功。即：

$$dA_m = l dF \sigma_r + dl \cdot F \sigma_x. \quad (8)$$

由变形体 V 的体积在变形前后相等的条件得：

$$F_h \cdot l_h = l_k \cdot F_k = V,$$

所以 $l \cdot dF = dl \cdot F = V \cdot \frac{dF}{F}.$ (9)

按塑性体最大剪应力理论，其塑性变形条件为：

$$\sigma_x - \sigma_r = K_f. \quad (10)$$

将 (9)、(10) 式代入 (8) 式，并整理后得：

$$dA_m = V \cdot \frac{dF}{F} \cdot K_{f_0} \quad (11)$$

在实际拉结过程中， K_f 是随变形程度而变化的，为简化及计算方便起见，取其变形前后的平均值 K_{f_m} ，所以将 (11) 式积分后得：

$$A_m = \int_{F_k}^{F_h} V \cdot \frac{dF}{F} \cdot K_{f_m} = V \cdot K_{f_m} \cdot \ln \frac{F_h}{F_k},$$

而

$$A_m = P_m \cdot l_k; \quad V = F_k \cdot l_k,$$

所以

$$P_m = F_k \cdot K_{f_m} \cdot \ln \frac{F_h}{F_k}. \quad (12)$$

上述的 P_m ，仅是考虑了理想变形的情况，即金属晶粒是平行六面体进行变形，也没有计入金属内部之消耗。

(2) 克服拉模与接头金属之间的摩擦力所需的力 P_u (参阅图 10)

若变形区域内，微小变形体由一个位置移至另一位置时，则

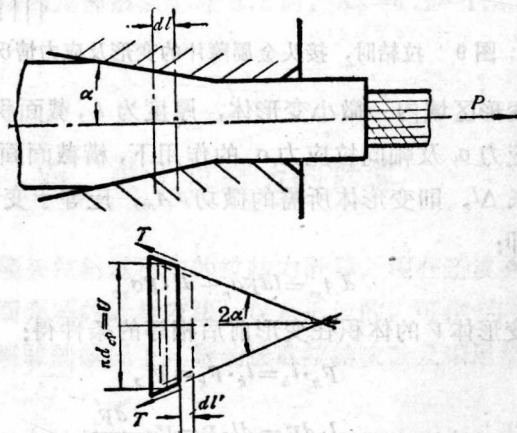


图10 拉结时，微小变形体的受力情况。

克服摩擦所消耗之微功，应等于微小变形体表面上的摩擦力 T 在轴线方向的投影与移动距离 dl 在该轴上投影的乘积。

$$dA_{\mu} = \frac{T}{\cos \alpha} \cdot \frac{dl}{\cos \alpha}; \quad (13)$$

式中 $T = U \cdot l \cdot K_{f_m}$;

U —— 微小变形体平均之周长;

l —— 微小变形体厚度;

f —— 拉模与接头金属表面之间的摩擦系数 (见表 2)。

表 2 摩擦系数 f 值

材 料	拉 模 材 料	
	钢	硬质合金
钢材	软化	0.07
钢材	硬化	0.06

所以 $dA_{\mu} = \frac{U \cdot l \cdot K_{f_m} \cdot f}{\cos \alpha} \cdot \frac{dl}{\cos \alpha} \circ \quad (14)$

而 $dF = U \cdot dl \cdot \operatorname{tg} \alpha; \quad (15)$

$$l = -\frac{V}{F} \circ \quad (16)$$

将 (15)、(16) 式代入 (14) 式后, 积分得:

$$\begin{aligned} A_{\mu} &= \int_{F_k}^{F_h} V \cdot K_{f_m} \cdot \frac{f}{\sin \alpha \cos \alpha} \cdot \frac{dF}{F} \\ &= V \cdot K_{f_m} \cdot \frac{f}{\alpha} \ln \frac{F_h}{F_k} \circ \end{aligned} \quad (17)$$

当 α 很小时, $\sin \alpha \cdot \cos \alpha \approx \alpha$,

而 $P_{\mu} \cdot l_k = A_{\mu}; \quad F_k \cdot l_k = V,$

所以 $P_{\mu} = F_k \cdot K_{f_m} \cdot \frac{f}{\alpha} \cdot \ln \frac{F_h}{F_k} \circ \quad (18)$

由上式可以看出, 摩擦消耗的力与塑性变形消耗的力成正比, 和模子角度成反比。

(3) 由于摩擦力作用所产生的不均匀附加剪变形所需之力 P_h

由上述情况可以看出, 附加变形所需的力与拉模锥半角 α 大

小成正比。但对于鋼索接头拉結的实际情况来看，则消耗在切变形的功，仅是接头金属部分。根据考尔布尔、易庆格尔研究的结果，这部分所消耗的力 P_h ，由下式表示：

$$P_h = \frac{4}{3\sqrt{3}} F_k \cdot K_{tm} \cdot \alpha \quad (19)$$

2 总拉結力 P

将 (12)、(18)、(19) 各式相加并整理后，得

$$P = F_k \cdot K_{tm} \cdot \ln \frac{F_h}{F_k} \left(1 + \frac{f}{\alpha} + \frac{0.77\alpha}{\ln \frac{F_h}{F_k}} \right).$$

将 F_k 之值代入并整理后，得

$$\begin{aligned} P &= \frac{\pi}{4} K_{tm} \cdot \ln \frac{F_h}{F_k} \left(1 + \frac{f}{\alpha} + \frac{0.77\alpha}{\ln \frac{F_h}{F_k}} \right) \\ &\times \left[D_k^2 - d^2 + 2d \cdot q - q^2 \left(1 + \frac{n}{2} \right) \right] \\ &= \frac{\pi}{4} K_{tm} \left[0.77\alpha + \ln \frac{F_h}{F_k} \left(1 + \frac{f}{\alpha} \right) \right] \\ &\times \left[D_k^2 - d^2 + 2d \cdot q - q^2 \left(1 + \frac{n}{2} \right) \right]. \end{aligned} \quad (20)$$

五、拉結工序确定

按拉伸系数的定义，对首先拉伸和总拉伸系数可以用下式表示：

$$\mu_{\text{总}} = \frac{F_h}{F_k} = \frac{D_h^2 - d^2}{D_k^2 - d^2 + 2d \cdot q - q^2 \left(1 + \frac{n}{2} \right)}, \quad (21)$$

式中 D_h ——接头拉結前外徑。

对以后各次拉伸系数 μ_i ，可用下式計算：

$$\mu_i = \frac{D_h^2 - d^2}{D_k^2 - d} = \frac{(D_h - d)(D_h + d)}{(D_k - d)(D_k + d)} \quad (22)$$

在計算拉結次数 n 时，可以假定各次拉伸系数为一常数，则：

$$\mu_1 = \mu_2 = \mu_3 = \dots = \mu_c,$$

所以

$$\mu_{\text{总}} = \mu_c^n,$$

$$n = \frac{\ln \mu_{\text{总}}}{\ln \mu_c} \quad (23)$$

一般可取 $\mu_c = 1.25 \sim 1.5$ 。但在实际拉結过程中，金屬有冷硬現象产生，所以在拉結条件可能的情况下，应尽量使前道工序的拉伸系数大于后道的拉伸系数。

六、試驗結果与結論

按上述选定拉伸系数及拉結次数之計算方法，应滿足(6)、(7)式的要求。并在实际試驗中加以調整，各拉結工序的接头尺寸列于表3。

表3 拉結尺寸及工序

鋼索直徑(毫米)	拉接前接头直徑(毫米)	第一工序	第二工序
1.8	3.8	3.5	3.2
2.0	4.2	3.8	3.5
2.5	4.8	4.4	4.0
3.0	5.5	4.9	4.5
3.5	6.5	5.9	5.5
4.0	7.5	6.8	6.2

各工序之拉結力的測定，是在拉力試驗机上，用專門工具进行的。各次的拉結力列于表4。

表 4 各工序之拉結力

鋼索直徑(毫米)	第一工序拉結力 P_1 (公斤)	第二工序拉結力 P_2 (公斤)
118	~150	~270
2.0	~230	~310
2.5	~240	~370
3.0	~300	~540
3.5	~320	~550
40	~450	~1050

接头在拉結过程中，其直徑減小，長度伸長，伸長值可按下式計算：

$$\nu' = \frac{\text{接头金屬被拉結的變形體積}}{\text{拉結後接头金屬假想截面面積}} = \frac{(D_h^2 - d^2)l_h}{D_k^2 - d^2},$$

式中 l_h ——接头金屬被拉結的長度。

實際上，接头金屬在拉結過程中被擠入鋼索縫隙之內，即實際伸長值 $\nu_{\text{實}}$ 小於計算伸長值 ν' ，它們之間差值愈大，愈表明被擠入縫隙的金屬愈多，結合強度愈好。如果使 $F_{k\text{實}} = F_k$ 時，可求出最大的差值 $\Delta\nu_{\text{最大}}$ ，並以它作為判別結合強度的標誌。

$$\text{實際伸長值 } \nu_{\text{實}} = \frac{\text{接头金屬被拉結的變形體積}}{\text{拉後接头金屬的真實面積}}.$$

計算的伸長值與實際伸長值的差值，列于表 5。

表 5 計算的伸長值與實際伸長值之差值

鋼索直徑	計算伸長值與實際伸長值之差值(%)
1.8	12.6~13.4
2.0	8~12.7
2.5	13.6~15.8
3.0	14.5~18
3.5	17~19
4.0	9.2~12.3

在拉結强度試驗時，一般都是鋼索被拉斷，鋼索與接頭之間的真實結合強度無法測定。從表 5, 6 中可知，計算伸長值與實際伸長值之差愈大，則鋼索接頭承受的載荷就愈大。試驗載荷與規定的結合強度列於表 6。

表 6 試驗載荷與規定的結合強度

鋼索直徑(毫米)	規定的結合強度(公斤)	試驗載荷(公斤)	提高的百分率(%)
1.8	260	330	27
2.0	380	380	—
2.5	500	540	8
3.0	750	880	17.1
3.5	950	1150	27.7
4.0	1270	1550	22

試驗結論：

- (1) 按上述近似公式計算的拉結力與試驗值之差在 20~40%左右，對第一工序拉結力偏大；而對第二次拉結力偏小；
- (2) 計算伸長值大於實際伸長值，其差值在 8~19%範圍之內。差值愈大，結合強度愈好；
- (3) 拉結後的接頭直徑 D_k 略大於拉模定徑帶尺寸，約在 0.05~0.1 範圍內。表面光洁度低於拉模工作表面光洁度一級左右；
- (4) 如接頭表面有鍍鋅層，在拉結過程中，並不損壞，仍均勻包覆着；
- (5) 拉結速度對拉結力有影響，速度過大，會使接頭在薄弱環節處損壞。拉結的速度平均應為 80~100 毫米/分。

七、工 藝 裝 备

1. 拉 模

為便於套裝被拉結的接頭，拉模採用分離型式的結構，即拉此為試讀，需要完整PDF請訪問：www.ertongbook.com